

# 转动区偶偶核正宇称态的八极关联效应

钱 诚 德

(上海交通大学应用物理系 上海 200030)

1993年2月1日收到

## 摘要

运用了  $U_{sdpf}(16)$  相互作用玻色子模型讨论了八极自由度 p 和 f 玻色子对转动区偶偶核正宇称态的效应。结果表明，偶数个 p 和 f 玻色子的组态能够混入到通常的基态带， $\beta$  和  $\gamma$  振动带，并且自然地形成  $K^* = 1^+, 3^+$  等转动带。这一结果与  $U_{sdg}(15)$ -IBM 相类似。本文还简要地给出了基态带间的  $E2$  约化跃迁几率，其结果与  $U_{sd}(6)$ -IBM 相一致。

**关键词**  $U_{sdpf}(16)$ -IBM, 八极关联,  $^{176}\text{Hf}$ ,  $K^* = 1^+, 3^+$  转动带。

## 1 引言

相互作用玻色子模型（简称 IBM<sup>[1]</sup>）成功地对偶偶核低集体运动态进行了描述。最近的一些研究工作表明，在 IBM 中，除了 sd 玻色子外，同时引入 p 和 f 玻色子已越来越显得是必要的。特别地，J. Engel 和 F. Iachello 运用了  $U_{sdpf}(16)$ -IBM，在单玻色子能量  $\epsilon_s \approx \epsilon_d \approx \epsilon_p \approx \epsilon_f$  情况下，对于核素  $^{218}\text{Ra}$ ，考虑了多个 p 和 f 玻色子的作用。他们指出：少量的 pf 玻色子成分会混入到正宇称基态带中去，如基态的八极关联<sup>[2]</sup>。此外， $U_{sd}(6)$ -IBM 虽然在描述核的四极振动或形变上取得了很大成功，但是不能解释转动核区的正宇称奇  $K$  带，如  $K^* = 1^+, 3^+$  带。为了讨论这类激发带，有些作者在原有 IBM 中引入了十六极自由度（g 玻色子）<sup>[3,4]</sup>。然而，我们的工作表明，如果不引入 g 玻色子，而只考虑偶数个 pf 玻色子的相互作用，也会自然地产生出奇  $K^*$  转动带，如  $K^* = 1^+, 3^+$  带。所以，这些奇  $K^*$  带同时也可被看作是转动核中，偶数个 pf 玻色子的关联效应。本文的目的是运用  $U_{sdpf}(16)$ -IBM，在单玻色子能量  $\epsilon_p \approx \epsilon_f \gg \epsilon_s \approx \epsilon_d$  的情况下，讨论偶数个负宇称 pf 玻色子的相互作用对转动核正宇称态能谱的影响。

## 2 模型和对称性

为了构造唯象模型，假设这个相互作用玻色子系统的玻色子符合 IBM 的基本假定<sup>[1]</sup>，体系的玻色子可以占据四种能级，即 s 态 ( $J^* = 0^+$ )，d 态 ( $J^* = 2^+$ )，p 态 ( $J^* = 1^-$ ) 和 f 态 ( $J^* = 3^-$ )。这个系统具有  $U_{sdpf}(16)$  群力学对称性。在单玻色子能量  $\epsilon_p \approx \epsilon_f \gg \epsilon_s \approx \epsilon_d$  的情况下，正宇称 s, d 玻色子和负宇称 p, f 玻色子将被分成两个子

系统,它们之间通过相互作用进行耦合,即体系具有  $U_{sd}(6) \otimes U_{pf}(10)$  群动力学对称性。把这个系统分两种情况进行考虑:(1)当玻色子数  $n_s + n_d = N, n_p + n_f = 0$  时,系统具有  $U(6)$  群动力学对称性。这就是大家所熟悉的  $U_{sd}(6)$ -IBM 中的正字称态。(2)虽然 d 玻色子在描述正字称态上有着重要的意义,但这里为了避免 d 玻色子的作用,以便直接讨论多个 p f 玻色子相互作用对态的影响,又基于单玻色子能量  $\epsilon_p \approx \epsilon_f \gg \epsilon_s \approx \epsilon_d$  的情况,我们把 d 玻色子数固定<sup>[2]</sup>,考虑玻色子数  $n_s + n_p + n_f = N, n_d = 0$  的情况,体系具有  $U_{spf}(16) \supset U_d(5) \otimes U_{spf}(11)$ <sup>[3]</sup> 群链的动力学对称性。这样的多个 s, p 和 f 玻色子相互作用系统可以被用来同时描述正负字称态,其中的正字称态将混入到通常的  $U_{sd}(6)$ -IBM 正字称态中去。系统中 s 玻色子与 p, f 玻色子字称不同,它们之间可以通过耦合处理。这样,体系具有  $U_{spf}(11) \supset U_s(1) \otimes U_{pf}(10)$  群动力学对称性。其中,s 玻色子可以使系统的总玻色子数守恒,而对能级的分裂没有影响。所以,系统的动力学对称性主要取决于  $U_{pf}(10)$  群的性质。 $U_{pf}(10)$  群包含有  $U_{sd}(6)$  群中的三种子群链<sup>[2,6,7]</sup>

$$U_{pf}(10) \supset SU_{pf}(5) \supset SO(5) \supset SO(3). \quad (1)$$

$$U_{pf}(10) \supset SU_{pf}(3) \supset SO(3). \quad (2)$$

$$U_{pf}(10) \supset SO_{pf}(6) \supset SO(5) \supset SO(3). \quad (3)$$

这样由 s, p 和 f 相互作用玻色子系统所描述的正字称态就可以和  $U_{sd}(6)$ -IBM 的三种极限情况进行比较。其中  $U_{pf}(10) \supset SU_{pf}(3) \supset SO(3)$  极限对应于转动极限,本文将运用这个子群链对转动核进行讨论。

### 3 $U_{spf}(11)$ -IBM 及 $SU_{pf}(3)$ 转动极限

为了构造体系的哈密顿算符,定义球面张量算符如下:

$$\text{产生算符} \quad s^+, p_\mu^+ (\mu = 0, \pm 1), f_\mu^+ (\mu = 0, \pm 1, \pm 2, \pm 3). \quad (4)$$

$$\begin{aligned} \text{消灭算符} \quad & \tilde{s} = s, \tilde{p}_\mu = (-1)^{1-\mu} p_{-\mu} (\mu = 0, \pm 1), \\ & \tilde{f}_\mu = (-1)^{3-\mu} f_{-\mu} (\mu = 0, \pm 1, \pm 2, \pm 3). \end{aligned} \quad (5)$$

它们满足对易关系:

$$[s, s^+] = 1, [p_\mu, p_{\mu'}^+] = \delta_{\mu\mu'}, [f_\mu, f_{\mu'}^+] = \delta_{\mu\mu'}. \quad (6)$$

其余的对易关系均为零。由它们可以构成产生算符和消灭算符的双线性乘积形式

$$G_{\mu\mu'} = b_\mu^+ b_{\mu'},$$

共 121 个算符,而这些算符可以看成是  $U_{spf}(11)$  群的生成元。为了讨论 p 和 f 玻色子的作用,采用了以 p 和 f 玻色子作为基本玻色子的相互作用系统,把 s 玻色子作耦合处理。由 p 和 f 玻色子组成的系统具有  $U_{pf}(10)$  群对称性。由于这个系统态的字称与 pf 玻色子总数的奇偶性有关<sup>[7,8]</sup>,为了讨论正字称态,就必须使  $N (= n_p + n_f)$  为偶数,考虑到总玻色子数守恒,可以采用  $U_{spf}(11)$ -IBM。

因为单个 p 和 f 玻色子态具有  $SU(3)$  群 (3,0) 不可约表示相同的变换性质,所以 pf 玻色子算符可以组成  $SU(3)$  代数,它的生成元是<sup>[9]</sup>

$$\hat{L} = \sqrt{2} (p^+ \tilde{p})^{(1)} + 2\sqrt{7} (f^+ \tilde{f})^{(1)}. \quad (7)$$

$$\begin{aligned}\hat{Q} = & -\frac{9\sqrt{2}}{5}(p^+\vec{p})^{(2)} - \frac{6\sqrt{7}}{5}(f^+\vec{f})^{(2)} \\ & + \frac{2}{5}\sqrt{42}[(p^+\vec{f})^{(2)} + (f^+\vec{p})^{(2)}].\end{aligned}\quad (8)$$

系统的哈密顿算符为

$$\begin{aligned}H_{pf} = & H_p + H_f + V_{pf} \\ = & \varepsilon_p \sum_{m=-1}^{+1} p_m^+ p_m + \varepsilon_f \sum_{m=-3}^{+3} f_m^+ f_m \\ & + \sum_{L=0,2} \frac{1}{2} (2L+1)^{1/2} C_{pL} [(p^+ p^+)^{(L)} (\vec{p} \vec{p})^{(L)}]^{(0)} \\ & + \sum_{L=0,2,4,6} \frac{1}{2} (2L+1)^{1/2} C_{fL} [(f^+ f^+)^{(L)} (\vec{f} \vec{f})^{(L)}]^{(0)} \\ & + \sum_{L=0,2} \frac{1}{2} (2L+1)^{1/2} C_{pfL} [(f^+ f^+)^{(L)} (\vec{p} \vec{p})^{(L)} + (p^+ p^+)^{(L)} (\vec{f} \vec{f})^{(L)}]^{(0)} \\ & + \sum_{L=2,4} v_L [(f^+ f^+)^{(L)} (\vec{f} \vec{p})^{(L)} + (f^+ p^+)^{(L)} (\vec{f} \vec{f})^{(L)}]^{(0)} \\ & + u_2 [(p^+ p^+)^{(2)} (\vec{f} \vec{p})^{(2)} + (f^+ p^+)^{(2)} (\vec{p} \vec{p})^{(2)}]^{(0)}.\end{aligned}\quad (9)$$

其中  $\varepsilon_p, \varepsilon_f, C_{pL}, C_{fL}, C_{pfL}, v_L, u_2$  等为参量。在  $SU(3)$  极限情况下, 体系的哈密顿算符可以写为

$$H = -\kappa \sum_{ij} \hat{Q}_i \cdot \hat{Q}_j - \kappa' \sum_{ij} \hat{L}_i \cdot \hat{L}_j. \quad (10)$$

其中  $\hat{L}_i$  是第  $i$  个玻色子的角动量算符,  $\hat{Q}_i$  是第  $i$  个玻色子的四极算符,  $\kappa$  表示四极-四极相互作用强度,  $\kappa'$  表示角动量-角动量相互作用强度。

这种形式的哈密顿算符  $H$ , 在  $SU(3)$  群中是对角的。 $H$  的本征态可以用子群链  $SU(10) \supset SU(3) \supset SO(3)$  中表征各子群的不可约表示的量子数来标记。态的波函数可以用  $|[N](\lambda\mu)KLM\rangle$  表示。这里  $[N]$  表示  $SU(10)$  群的全对称不可约表示,  $(\lambda\mu)$  是  $SU(3)$  群的不可约表示,  $L, M$  分别代表体系的总角动量和它在  $z$  方向上的投影, 即分别是  $SO(3)$  群和  $SO(2)$  群的量子数。这里的  $K$  为  $L$  在本体轴上投影的附加量子数。

把  $H$  作用到态  $|[N](\lambda\mu)KLM\rangle$  上得到能量的本征值为:

$$E([N](\lambda\mu)KLM) = \alpha L(L+1) - \beta C(\lambda\mu). \quad (11)$$

其中  $C(\lambda\mu) = \lambda^2 + \mu^2 + \lambda\mu + 3(\lambda + \mu)$ ,  $\alpha = \frac{3}{4}\kappa - \kappa'$ ,  $\beta = \kappa$ 。能量对  $K, M$  是简并的。

把  $H$  作用到态  $|[N-1](\lambda\mu)KLM\rangle$  上还可以得到另一组能量本征值为:

$$E([N-1](\lambda\mu)KLM) = \alpha' L(L+1) - \beta' C(\lambda\mu), \quad (12)$$

其中  $\alpha', \beta'$  为参量。 $\alpha' = \frac{3}{4}\kappa'' - \kappa''', \beta' = \kappa''$ 。

可以证明,当 $N \geq 4^{[9]}$ 时, $SU(10)$ 群的全对称表示 $[N]$ 对于 $SU(3)$ 的分解中,按照 $SU(3)$ 群不可约表示的二次Casimir算符本征值,由大到小的顺序排列,前四个 $SU(3)$ 表示是 $(3N,0), (3N-4,2), (3N-6,3)$ 和 $(3N-8,4)$ . 表示越大对应于带首能量越低. 最低能带对应于 $(3N,0)$ 表示,由 $SU(3) \supset SO(3)$ 的约化分支律得到态的角动量为:

$$L = 0, 2, 4, \dots, 3N-2, 3N. \quad (N \text{ 为偶数}); \quad (13)$$

$$L = 1, 3, 5, \dots, 3N-2, 3N. \quad (N \text{ 为奇数}). \quad (14)$$

所以,最低能带的态的角动量值将随总玻色子数 $N$ 的奇偶性而不同. 在这一点上, $U_{pf}(10)$ -IBM 显著地不同于 $U_{sd}(6)$ -IBM. 当总玻色子数 $N$ 为偶数时,采用 $U_{pf}(10)$ -IBM,可以得到低激发态中的正宇称能谱.

为了便于与 $SU(6) \supset SU(3)$ 约化的分支律进行比较,把 $SU(10) \supset SU(3)$ 约化的结果分成两组:

$$[N]_{SU(10)} \supset \begin{cases} (3N,0) \oplus (3N-4,2) \oplus (3N-8,4) \oplus (3N-12,6) \oplus \dots \\ (3N-6,0) \oplus (3N-10,2) \oplus \dots \\ (3N-12,0) \oplus \dots \\ \dots \end{cases}$$

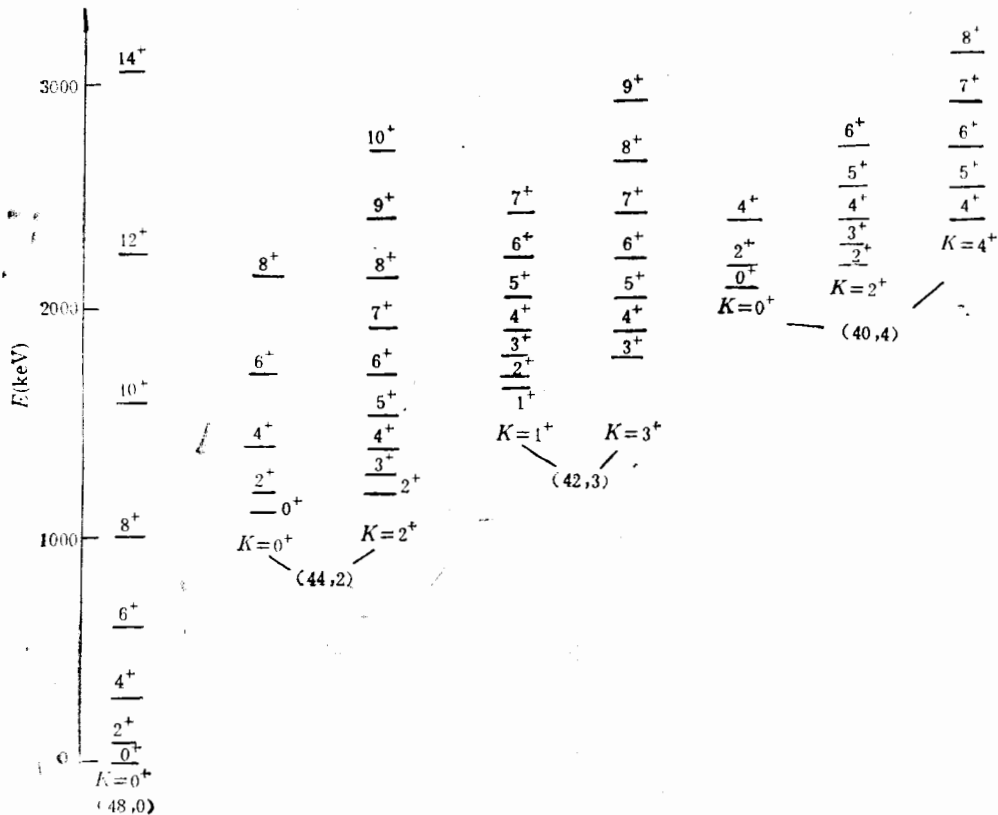


图1 具有 $SU(3) \subset U(10)$ 极限的典型理论能谱

$N = 16$ , 括号内 $\lambda$ 和 $\mu$ 的值标记 $SU(3)$ 表示 $(\lambda\mu)$

$$\oplus \begin{bmatrix} (3N-6,3) \oplus (3N-8,1) \oplus \dots \\ (3N-9,3) \oplus \dots \end{bmatrix} \quad (15)$$

其中前组中的  $SU(3)(\subset SU(10))$  表示可以与  $SU(6) \supset SU(3)$  的约化结果对应, 它们的对应项包含了相同的低角动量值, 而后组中的  $SU(3)$  表示却没有对应的项。这样从能谱看  $U_{pf}(10) \supset SU(3)$  中除了包含  $U_{sd}(6) \supset SU(3)$  中所有的态以外, 还增加了一些能谱, 如与  $(3N-6,3)$  表示对应的转动带。从  $SU(3) \supset SO(3)$  约化分支律可以看出, 这正好与  $K^* = 1^+, 3^+$  转动带相对应。这样,  $U_{pf}(10)$ -IBM 中的态的一部分将混入到通常的  $U_{sd}(6)$ -IBM 相应的态中去, 另外, 这个模型还会形成一些奇  $K^*$  转动带。

从上面的讨论中, 我们可以看出, 总玻色子数  $N$  为偶数时,  $U_{pf}(10)$ -IBM 能够描述正字称态。如图 1。为了使  $N$  为奇数时, 也能描述正字称态, 我们可以采用引入  $s$  玻色子的  $U_{spf}(11)$ -IBM, 并且做如下考虑:

(1) 当  $N$  为偶数时, 取特殊情况  $n_s = 0, n_p + n_f = N$ , 其中  $n_s, n_p, n_f$  分别表示  $s, p, f$  玻色子数。总玻色子数  $N$  守恒。 $n_s + n_p + n_f = N$ 。体系的哈密顿算符  $H = H_{pf}$ 。系统具有  $U_{pf}(10)$  群力学对称性。可以直接运用  $U_{pf}(10)$ -IBM 中  $N$  为偶数的结果。

(2) 当  $N$  为奇数时, 取特殊情况  $n_s = 1$ 。此时  $n_p + n_f = N - 1$ 。体系的哈密顿算符, 除了  $pf$  算符项以外, 还出现与一个  $s$  玻色子算符有关的项。把  $s$  玻色子与  $pf$  玻色子之间用耦合处理。这时系统就具有  $U_{spf}(11) \supset U_s(1) \otimes U_{pf}(10)$  群链对称性。体系的哈密顿算符  $H = H_s + H_{pf} + V_{s,pf}$ , 即

$$H = H_{pf} + \varepsilon_s + u_{2p}[ (s^+ \tilde{s})^{(0)} (p^+ \tilde{p})^{(0)} ]^{(0)} + u_{2f}[ (s^+ \tilde{s})^{(0)} (f^+ \tilde{f})^{(0)} ]^{(0)}. \quad (16)$$

其中  $\varepsilon_s, u_{2p}, u_{2f}$  为参量。因为  $(s^+ \tilde{s})^{(0)} = \hat{n}_s, (p^+ \tilde{p})^{(0)} = \frac{1}{\sqrt{3}} \hat{n}_p, (f^+ \tilde{f})^{(0)} = \frac{1}{\sqrt{7}} \hat{n}_f$ , 其中

$\hat{n}_s, \hat{n}_p$  和  $\hat{n}_f$  分别表示  $s, p$  和  $f$  玻色子数算符。由于  $\hat{n}_s$  的本征值为 1, 而后两项可以合并到  $H_{pf}$  (9)式中,  $\varepsilon_s$  可以吸收到结合能中去, 所以在  $SU(3)$  极限情况下, 可以得到下面形式的体系哈密顿算符:

$$H = \left( \frac{3}{4} \kappa'' - \kappa''' \right) \hat{L}^2 - \kappa' \hat{C}(\lambda \mu). \quad (17)$$

其中  $\hat{C}(\lambda \mu)$  为  $SU(3)$  群二次 Casimir 算符, 由于参数  $\varepsilon_p, \varepsilon_f$  已改变, 所以参数  $\kappa, \kappa'$  也要相应地改变为  $\kappa'', \kappa'''$ , 把上式改记为:

$$H = \alpha' \hat{L}^2 - \beta' \hat{C}(\lambda \mu), \quad (18)$$

其中  $\alpha' = \frac{3}{4} \kappa'' - \kappa''', \beta' = \kappa''$ 。此时体系的波函数为  $|[N-1](\lambda \mu)KL', s; LM\rangle$ ,

这个波函数是由  $|[N-1](\lambda \mu)KL'\rangle$  与  $|s00\rangle$  耦合而成的。因为  $s$  玻色子的角动量  $L = 0, L$  的  $z$  分量  $M = 0$ , 所以耦合后的波函数形式较简单:

$$\begin{aligned} |[N-1](\lambda \mu)KL', s; LM\rangle &= |[N-1](\lambda \mu)KL'\rangle |s00\rangle \\ &= |[N-1](\lambda \mu)KLM\rangle. \end{aligned} \quad (19)$$

把  $H$  作用在态  $|[N-1](\lambda \mu)KL', s; LM\rangle = |[N-1](\lambda \mu)KLM\rangle$  上得到能量的本征值为

$$E([N-1](\lambda \mu)KL', s; LM) = E([N-1](\lambda \mu)KLM)$$

$$= \alpha' L(L+1) - \beta' C(\lambda\mu). \quad (20)$$

这样,体系的波函数可以用  $n_p + n_f = N - 1$  时  $U_{pf}(10)$ -IBM 的波函数来表示,并得到相应的能量本征值。总之,当  $N$  为奇数时,正宇称态可以用  $n_p + n_f = N - 1$  时  $U_{pf}(10)$ -IBM 的解析公式来表示。

#### 4 理论与实验的比较

在转动区内,偶偶核  $^{160}\text{DY}$ ,  $^{162}\text{DY}$ ,  $^{168}\text{Yb}$ ,  $^{168}\text{Er}$ ,  $^{172}\text{Yb}$ ,  $^{176}\text{Hf}$ ,  $^{234}\text{U}$  和  $^{246}\text{Cm}$ <sup>[4]</sup> 具有  $K^{\pi} = 1^+, 3^+$  等转动带。以  $^{176}\text{Hf}$ <sup>[10]</sup> 为例,把  $SU(3) \subset U_{pf}(10)$  理论谱与实验结果进行了比较,理论谱得到了较好的证实。参见图 2。

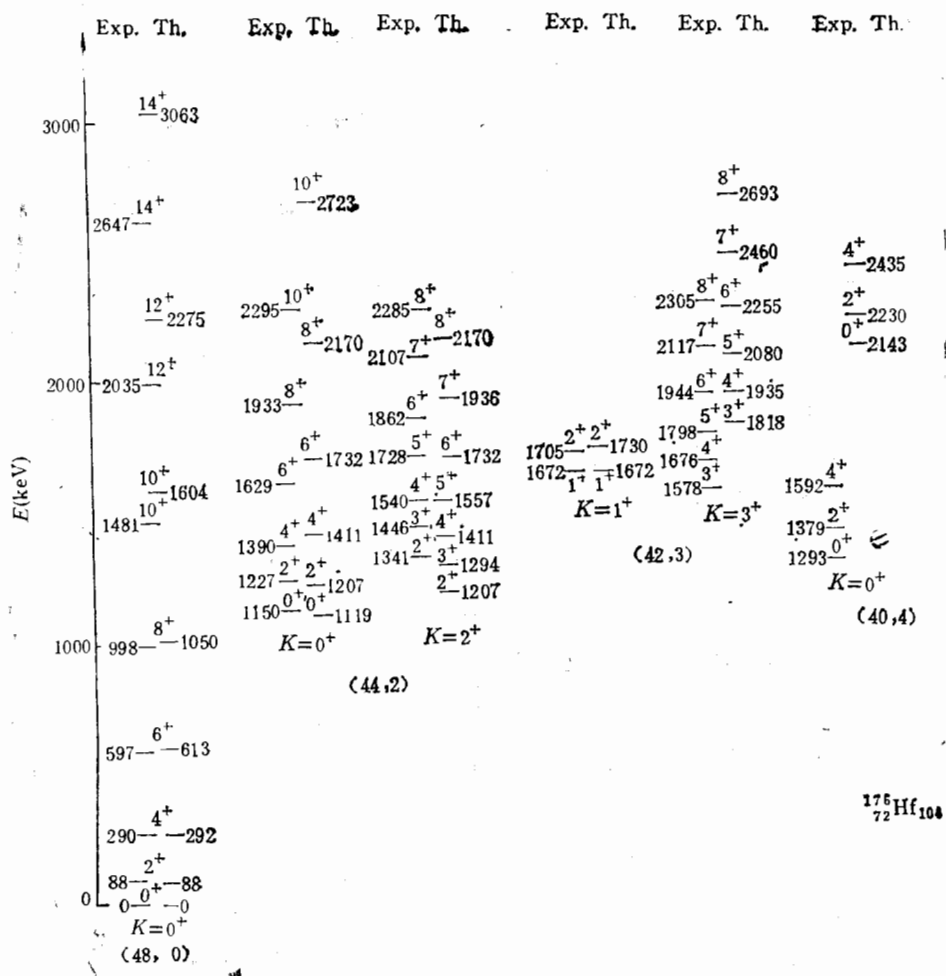


图 2  $^{176}_{72}\text{Hf}_{104}$  ( $N = 16$ ) 的理论能谱与实验能谱的比较

理论公式为(11)式,参数值  $\kappa = 3.968$  (keV),  $\kappa' = -11.61$  (keV)

实验值取自文献[10]。

## 5 E2 跃 迁

在  $SU(3)$  极限下,一般的  $E2$  跃迁算符可以写为

$$\hat{T}^{(E2)} = \alpha_2 \hat{Q}^{(2)}. \quad (21)$$

其中  $\hat{Q}^{(2)}$  是  $SU(3)$  的一个生成元,  $\alpha_2$  是  $E2$  的有效电荷,因此,  $\hat{T}^{(E2)}$  也是  $SU(3)$  的一个生成元。

虽然,在  $U_{pf}(10)$ -IBM 和  $U_{sd}(6)$ -IBM 中的  $\hat{T}^{(E2)}$  算符形式上不同,但是它们具有相同的  $SU(3)$  变换性质。运用文献[1]中所叙述的计算方法,就可以得到  $\hat{Q}^{(2)}$  的约化矩阵元,特别重要的是在基态带间  $E2$  跃迁的约化跃迁几率  $B_g$ ,注意到基态带所对应的表示为  $(3N, 0)$  而不是  $(2N, 0)$ ,得到

$$B_g(E2, L+2 \rightarrow L) = \alpha_2^2 \frac{3}{4} \frac{(L+2)(L+1)}{(2L+3)(2L+5)} (3N-L)(3N+L+3), \quad (22)$$

和基态带中各态的电四极矩为

$$Q(L) = -\alpha_2 \left( \frac{16\pi}{40} \right)^{1/2} \frac{L}{2L+3} (6N+3). \quad (23)$$

而由几何模型 (Bohr & Mottelson, 1975) 得出的结果是

$$B_g(E2, L+2 \rightarrow L) = \frac{5}{16\pi} e^2 Q_0^2 \frac{3}{2} \frac{(L+2)(L+1)}{(2L+3)(2L+5)}, \quad (24)$$

和

$$Q(L) = -eQ_0 \frac{L}{2L+3}. \quad (25)$$

比较(23)和(25)式,我们可以看到,在  $SU(3)$  极限下内禀电四极矩所起的作用是

$$eQ_0 \rightarrow \alpha_2 \left( \frac{16\pi}{40} \right)^{1/2} (6N+3). \quad (26)$$

由此可以看出  $B_g(E2)$  与玻色子数的平方成正比,因而在  $SU(3)$  极限下,  $U_{pf}(10)$ -IBM 和  $U_{sd}(6)$ -IBM 一样,也能得到强  $E2$  跃迁的结论;此外,它还可以得出类似于  $U_{sd}(6)$ -IBM 的,关于  $\beta$  带间,  $\gamma$  带间的  $E2$  跃迁几率公式等,值得注意的它还可以讨论  $K^* = 1^+, 3^+$  奇  $K$  带间的跃迁几率,这也是在  $U_{sd}(6)$ -IBM 中无法讨论的,限于篇幅不在这里一一叙述。

## 6 结 论 与 讨 论

从  $U_{spf}(11)$ -IBM 的  $SU(3)$  极限中,可以看到,偶数个 pf 玻色子的相互作用会形成正宇称态。它们中的一部分组态将混入到通常的  $U_{sd}(6)$ -IBM 的正宇称低集体运动态中去,如基态转动带,  $\beta$ 、 $\gamma$  振动转动带等,形成了正宇称态的八极关联,其中特别地存在着基态的八极关联。另外,它们还会自然地形成简并的带首为奇  $K$  的转动带,如  $K^* = 1^+$ 、 $+3$  带等。这样  $U_{spf}(11)$ -IBM 一方面与  $U_{sd}(6)$ -IBM 对于正宇称转动带的描述是相容

的,另一方面它还会产生  $U_{sd}$ (6)-IBM 中所缺少的有意义成分。在这一点上,  $U_{spf}$ (11)-IBM 与  $U_{sdg}$ (15)-IBM 具有相类似的结果。

所以,在实验上,核素中所出现的  $K^* = 1^+, 3^+$  等转动带也可以被看作是正宇称态中存在八极关联的效应,为进一步讨论核的八极激发性质提供了信息。

从基态带的  $E2$  跃迁来看,  $U_{spf}$ (11)-IBM 与  $U_{sd}$ (6)-IBM 也是一致的,关于电磁跃迁,将在另外的文章中给予进一步的讨论。

作者对周孝谦教授的有益讨论表示感谢。作者还要对孙洪洲教授、韩其智教授和沈洪清教授等对本文的许多有益建议表示感谢。

### 参 考 文 献

- [1] A. Arima and F. Iachello, *Ann. Phys.*, **99** (1976) 253; **111** (1978) 201; **123** (1979) 468.
- [2] J. Engel and F. Iachello, *Nucl. Phys.*, **A472** (1987) 61.
- [3] H. C. Wu, *Phys. Lett.*, **110B** (1982) 1.
- [4] 曾家刚、廖继志,高能物理与核物理,11(1987)409.
- [5] D. Kusnezov, *J. Phys.*, **A23** (1990) 5673.
- [6] 吴华川,高能物理与核物理,10(1986)605.
- [7] Sun Hongzhou et al., *Chin. J. Nucl. Phys.*, **13** (1991) 121.
- [8] Qian Chengde *Chin. J. Nucl. Phys.*, **12**(1990) 193.
- [9] 钱诚德,原子核物理,4(1982)223.
- [10] D. J. Horen, *Nucl. Data Sheets*, **19**(1976) 383.

## Effects of Positive-Parity States Octupole Correlations for Even-Even Nuclei in Rotational Regions

Qian Chengde

(Shanghai Jiaotong University, Shanghai 200030)

Received on February 1, 1993

### Abstract

Within the framework of the  $U_{spf}$  (16) interacting boson model, effects of the octupole degree of freedom p-and f-bosons on the positive-parity states of even-even nuclei in rotational regions are discussed. It is shown that configurations of an even number of p-and f-bosons not only can be incorporated into the usual ground state band,  $\beta$ -、 $\gamma$ -vibrational bands, but also naturally form the  $K^* = 1^+, 3^+$  rotational bands etc. This result is similar to that of the  $U_{sdg}$  (15)-IBM. Besides,  $E2$  transition probabilities are discussed briefly.

**Key words**  $U_{spf}$  (16)-IBM, octupole correlations,  $^{176}\text{Hf}$ ,  $K^* = 1^+, 3^+$  rotational bands.